

СУЩЕСТВЕННАЯ РОЛЬ КОНФИГУРАЦИИ СЛОЯ ЗАТВОРНОГО ИЗОЛЯТОРА СТРУКТУР ПОЛУПРОВОДНИК-ИЗОЛЯТОР-ПОЛУПРОВОДНИК В ПРОЦЕССЕ ДЕФЕКТООБРАЗОВАНИЯ

© 2005 А.Б. Милош¹, В.Я. Урицкий^{1,2}

Санкт-Петербургский государственный электротехнический университет («ЛЭТИ»)¹
Акционерное общество «Светлана»²

Поступила в редакцию 24.08.05

Выявлено фундаментальное влияние конфигурации затворного оксида структур кремний-диоксид кремния-поликристаллический кремний на процесс генерации электрически активных дефектов под воздействием рентгеновского излучения при различной поляризации поликремниевого затвора с электрическими контактами.

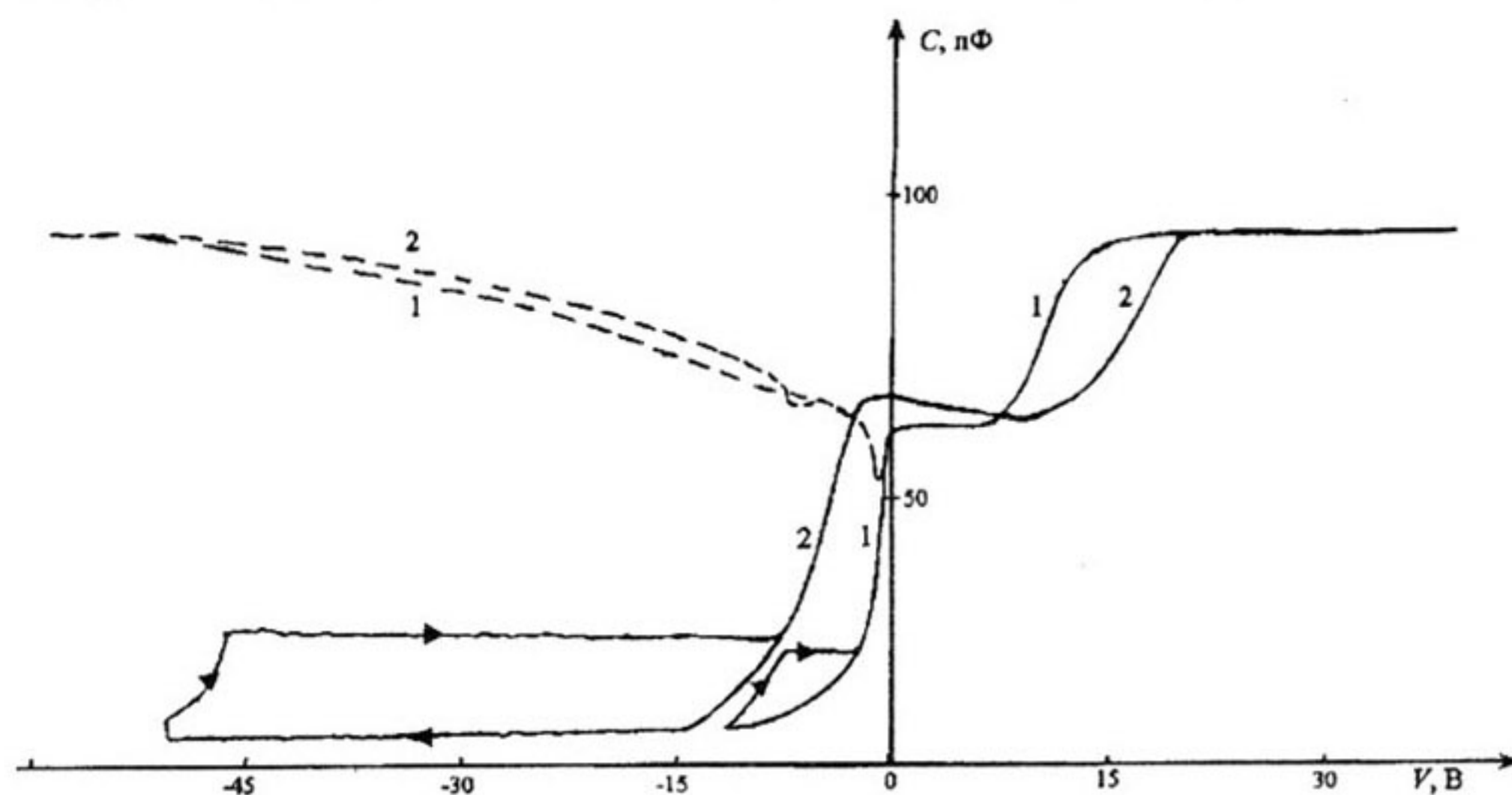
ВВЕДЕНИЕ

В настоящее время в производстве различных микро- и наноэлектронных приборов и интегральных схем (в том числе и ультрабольших), широко и многообразно используются структуры монокристаллический кремний - слой диоксида кремния - слой поликристаллического кремния. Параметры микро- и наноэлектронных приборов и интегральных схем, сформированных на указанных структурах, в значительной степени определяются их (структур) характеристиками, среди которых одну из важных ролей играют величина и центроид локализации электрически активных дефектов (ЭАД), пространственно распределенных по толщине слоя затворного оксида и действующих как ловушки электронов и дырок. Получение этих характеристик является достаточно прецизионной экспериментальной процедурой, включающей послойное стравливание SiO_2 , которое может привести к искажению пространственного распределения ЭАД за счет генерации дополнительных дефектов.

Целью данной работы является исследование радиационной трансформации ЭАД в слое SiO_2 с верхним и нижним слоем кремния или поликристаллического кремния на базе высокочастотной вольт-фарадной (С-В) методики,

модифицированной применительно к структурам Si-SiO₂ с нелегированным поликристаллическим кремнием (Si_{pc}) [1]. В качестве образцов использовались многослойные структуры Al - Si_{pc} - SiO₂ - Si - Al, расположенные на термически окисленной (до толщины слоя SiO₂ 150 нм) кремниевой пластине, как не подвергавшиеся внешним воздействиям (контрольные структуры), так и подвергнутые воздействию рентгеновского излучения (РИ) от трубки с медным катодом, при рабочем режиме 35 кВ, и токе подаваемом на медный анод 7 мА, в течении 2 часов при одновременной их электрической поляризации с различным напряжением затвора V_g: 0, -10 В и +10 В относительно базового контакта к кремниевой подложке. Доза поглощенного РИ составляла ~ 10⁶ рад. Использовались структуры как с круговой, так и с полосковой конфигурацией затвора. Структуры с полосковой конфигурацией, имели примерно одинаковую площадь и существенно различный периметр затвора, соответственно. Фактическим материалом для исследования служили выше отмеченные экспериментальные вольт-фарадные (С-В) характеристики указанных структур “слой алюминия – монокристаллический кремний – слой оксида кремния – поликристаллический кремний – слой алюминия”, представленные на рис. 1-3.

а



б

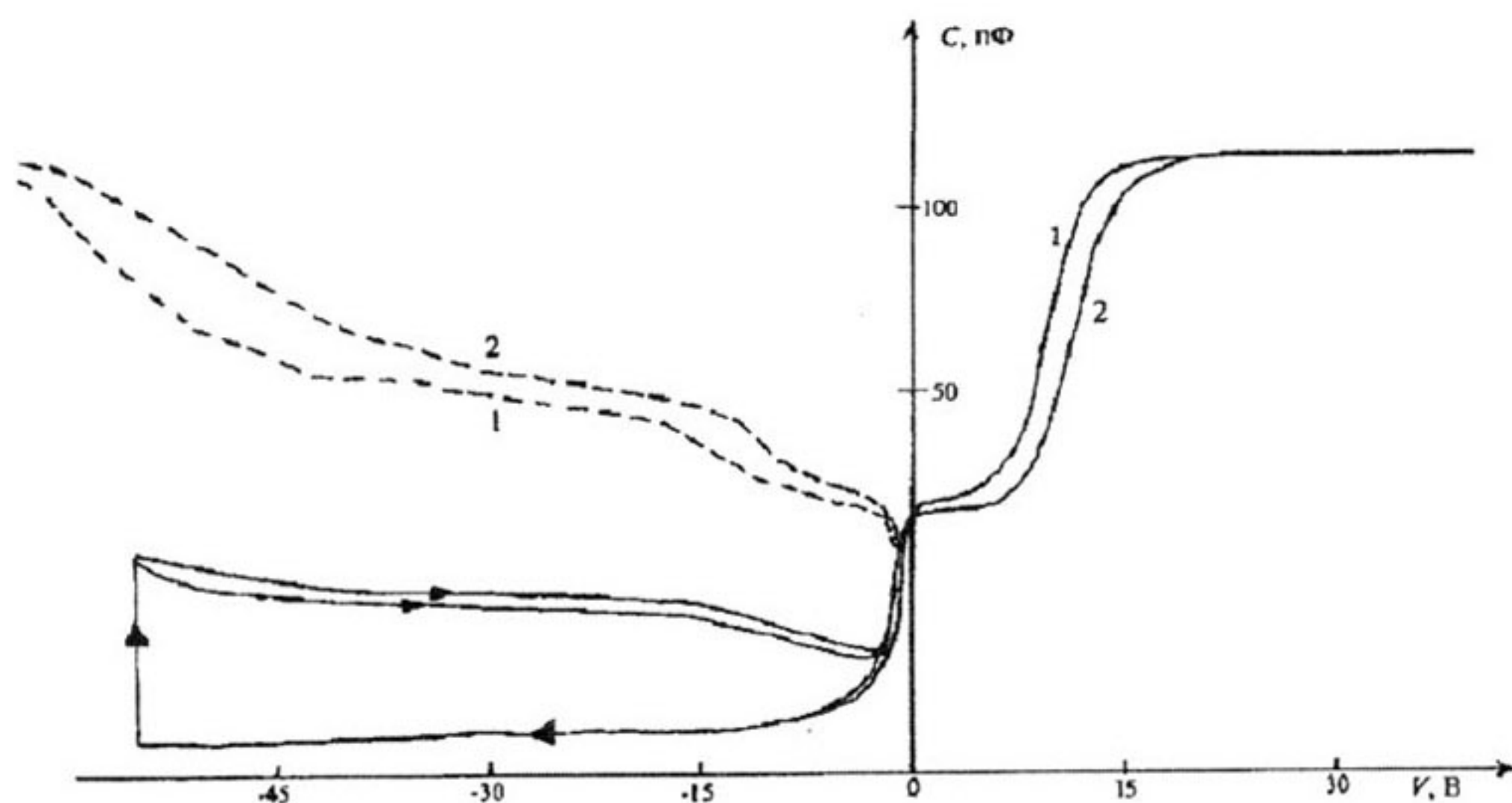


Рис. 1. Экспериментальные CV-характеристики: а - полосковой структуры ($S=3,96 \cdot 10^{-3} \text{ см}^2$, $V_g = 0 \text{ В}$), б - круговой структуры ($S=4,30 \cdot 10^{-3} \text{ см}^2$, $V_g = 0 \text{ В}$).

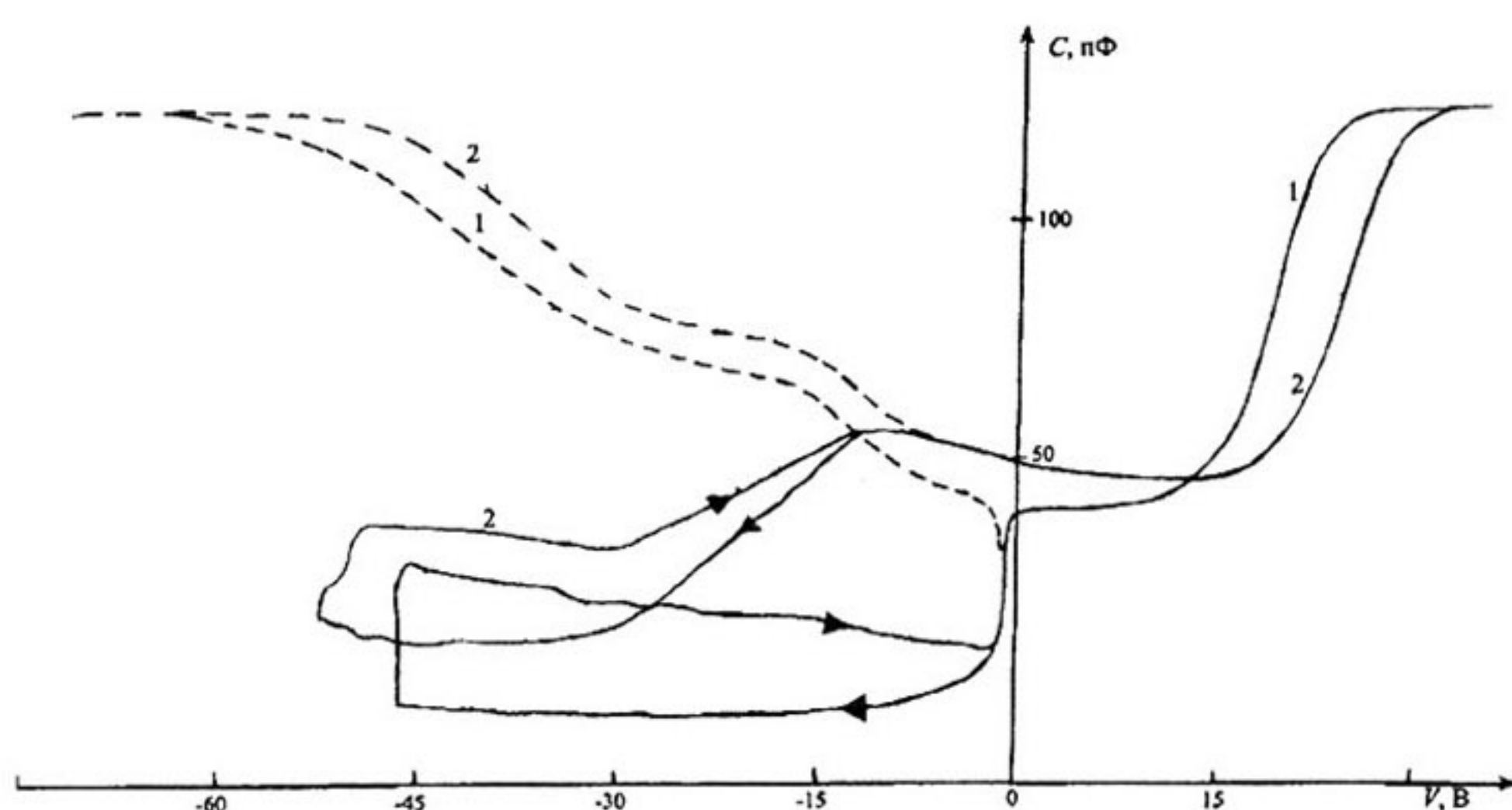
На рис. 1 представлены экспериментальные CV-характеристики, полосковой структуры ($S=3,96 \cdot 10^{-3} \text{ см}^2$), и круговой структуры ($S=4,30 \cdot 10^{-3} \text{ см}^2$), при напряжении на затворе в момент воздействия $V_g = 0 \text{ В}$ (здесь и далее, цифрами 1 и 2 показаны характеристики соответственно до воздействия и после воздействия РИ, пунктиром показаны характеристики снятые при освещении образцов).

На рис. 2 представлены экспериментальные CV-характеристики, полосковой структуры ($S=3,96 \cdot 10^{-3} \text{ см}^2$), круговой структуры ($S_g=4,30 \cdot 10^{-3} \text{ см}^2$), при напряжении на затворе в момент воздействия $V_g = +10 \text{ В}$.

На рис. 3 представлены экспериментальные CV-характеристики, круговой структуры ($S_g=4,30 \cdot 10^{-3} \text{ см}^2$), полосковой структуры ($S=3,96 \cdot 10^{-3} \text{ см}^2$), при напряжении на затворе в момент воздействия $V_g = -10 \text{ В}$.

Выбор рентгеновского облучения был обусловлен его существенным влиянием на процесс генерации ЭАД в слое диоксида кремния. Хотя исследованию влияния рентгеновского излучения посвящено много работ, однако в этой, как и в остальных работах [1, 2], вопрос пространственного распределения генерированных ЭАД в слое диоксида кремния остается по существу неизученным. Кроме того, ос-

а



б

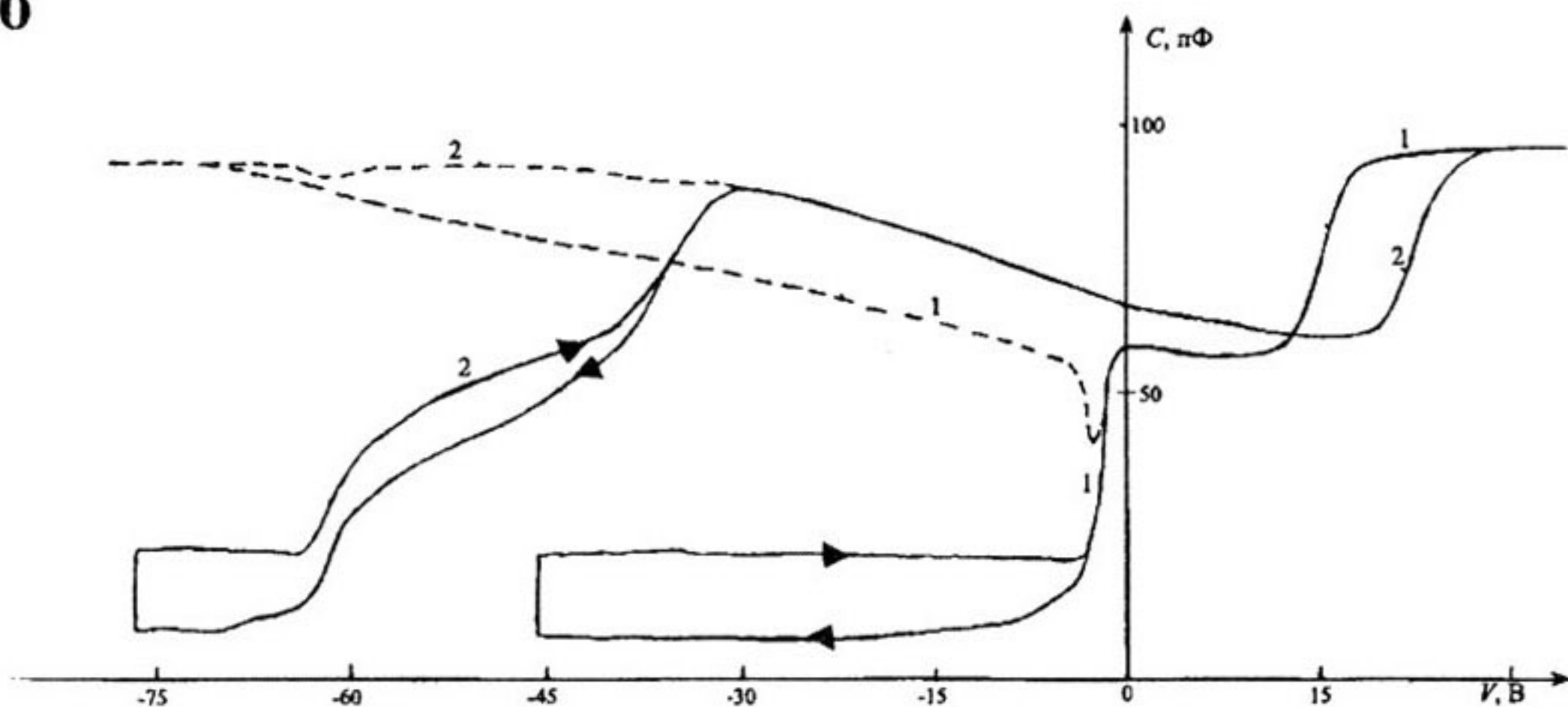


Рис. 2. Экспериментальные СВ-характеристики: а - полосковой структуры ($S=3.96 \cdot 10^{-3} \text{ см}^2$, $V_g = +10 \text{ В}$), б - круговой структуры ($S_g = 4,30 \cdot 10^{-3} \text{ см}^2$, $V_g = +10 \text{ В}$).

тавалась в тени роль конфигурации затворного оксида на процесс генерации ЭАД.

Применение разработанной методики позволяет без послойного стравливания определить два основных параметра, полностью определяющие процесс генерации: полный заряд ЭАД Q_i и центроид его локализации Z_i в слое оксида и, как следствие, эффективные величины заряда ЭАД в области внутренней (Q_{is}) и внешней (Q_{ig}) межфазных границ (МФГ) слоя оксида. Более того, методика позволяет дополнительно определить интегральную (в определенном энергетическом диапазоне запрещенной

зоны Si или Si_{pc}) концентрацию ловушек, локализованных на внутренней (N_{ss}) и внешней (N'_{ss}) МФГ слоя оксида, а также их энергетические распределения ($D_{ss}(E)$ и $D'_{ss}(E)$) в приповерхностной области. Как уже отмечалось, полученные результаты позволили выявить особенности радиационно-полевой трансформации пространственного распределения ионизированных центров в слое SiO_2 и энергетического распределения электронных локализованных состояний (ловушек) в областях МФГ слоя оксида и в приповерхностных областях Si-подложки и Si_{pc} затвора.

СУЩЕСТВЕННАЯ РОЛЬ КОНФИГУРАЦИИ СЛОЯ ЗАТВОРНОГО ИЗОЛЯТОРА СТРУКТУР ПОЛУПРОВОДНИК-ИЗОЛЯТОР-ПОЛУПРОВОДНИК В ПРОЦЕССЕ ДЕФЕКТООБРАЗОВАНИЯ

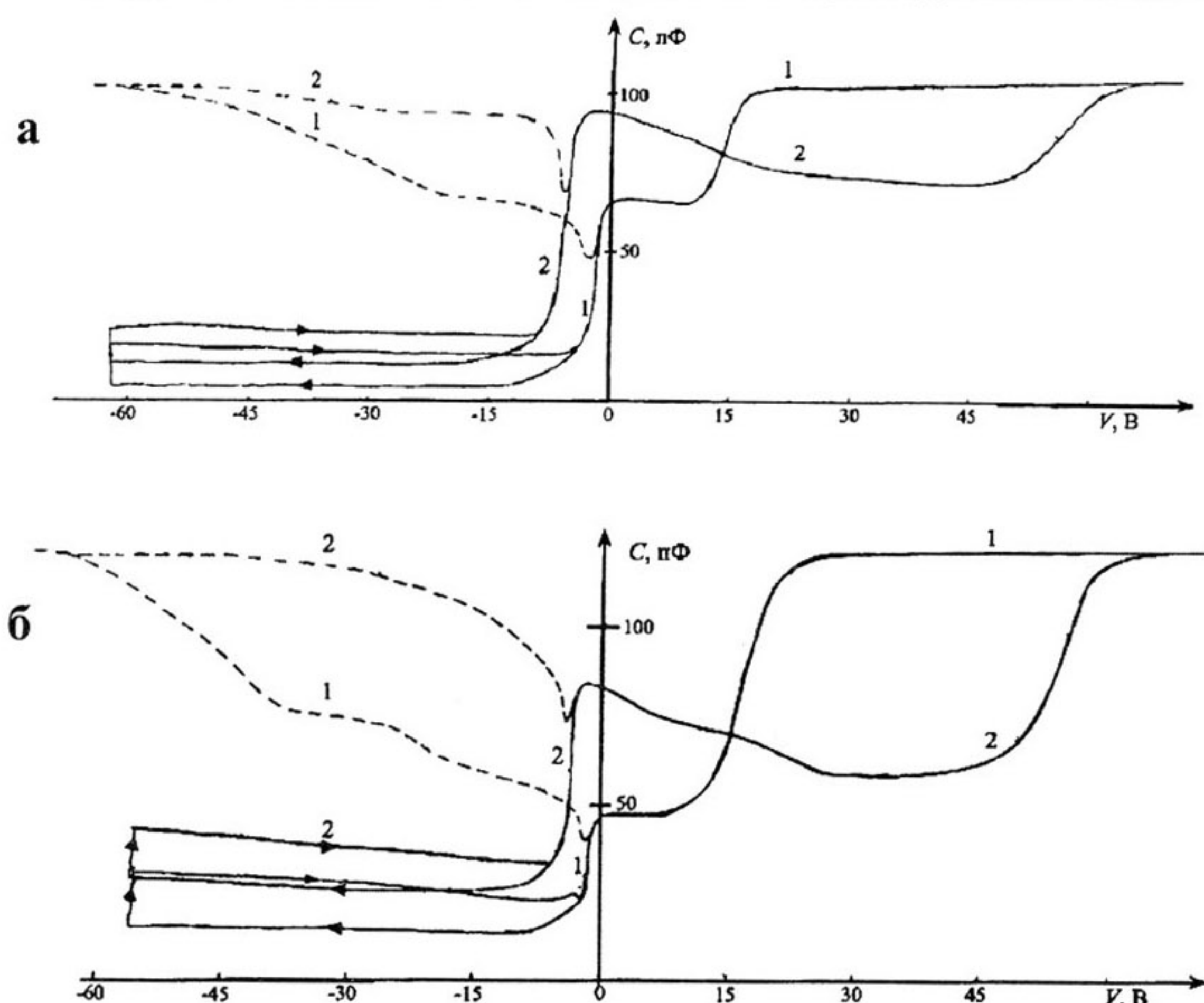


Рис. 3. Экспериментальные CV-характеристики: а - круговой структуры ($S_G = 4,30 \cdot 10^{-3} \text{ см}^2$, $V_g = -10 \text{ В}$), б - полосковой структуры ($S = 3,96 \cdot 10^{-3} \text{ см}^2$, $V_g = -10 \text{ В}$).

Основная задача заключалась в изучении влияния геометрической конфигурации структур на радиационно-полевую трансформацию ЭАД в слое затворного оксида и его МФГ. Необходимо было рассмотреть электрические характеристики не только межфазной границы Si-SiO₂, но и межфазной границы SiO₂-Si_{pc}, что и позволило определить величину и центроид полного заряда электрически активных центров в слое затворного оксида при различных поляризациях структур.

ТЕХНОЛОГИЯ И КОНСТРУКЦИЯ ПОЛЕВЫХ МИКРОСТРУКТУР

В эксперименте использовались структуры Al-Si-SiO₂-Si_{pc}-Al сформированные на поверхности пластин монокристаллического кремния КЭФ-7,5. Тип проводимости - электронный, легирующий элемент - фос-

фор, удельное сопротивление 7,5 Ом·см, ориентация поверхности Si в кристаллографической плоскости (100). Перед окислением проводилась стандартная химическая обработка образцов в перекисно-аммиачной среде. Далее проводилось выращивание слоя оксида на поверхности монокристаллического кремния: образцы окислялись при температуре 1150° С в атмосфере сухого кислорода до получения слоя оксида кремния толщиной 150 нм. Затем был химически осажден из газовой фазы слой поликристаллического кремния толщиной 0,4 мкм, при температуре 820° С (время 30 мин.). Последующим этапом было осаждение слоя алюминия толщиной 0,5 мкм.

Заключительными технологическими операциями по формированию структуры является фотолитография по алюминию, травление и вжигание алюминия, которое

проводилось при 450°C в течении 5 минут в атмосфере влажного аргона.

Для создания омического контакта на обратную сторону подложки также был нанесен алюминий сплошным слоем. В итоге были сформированы структуры Si-SiO₂-полиSi с круговой и полосковой конфигурацией затвора, различных площадей. Диаметр кругового затвора $\varnothing=740$ мкм, площадь затвора - $S=4,30 \cdot 10^5 \text{ мкм}^2$, его периметр - $P=2325$ мкм, отношение $P/S=0,005$. Полосковая конфигурация затвора различалась площадью и периметром затвора, соответственно.

МЕТОДИКА ЭКСПЕРИМЕНТА

Применение затвора из нелегированного Si_{pc} в многослойных структурах приводит к появлению дополнительного участка модуляции емкости на их вольт-фарадных (С-В)-характеристиках, что и позволяет оценить пространственное распределение электрически активных центров в слое оксида и на его МФГ. Однако, наличие в слое нелегированного Si_{pc} ЭАД, связанных не только с легирующими примесями, но и межзеренными границами [2], вызывает сложности в корректном определении положения уровня Ферми E_F в этом слое или объемного потенциала φ'_b, отсчитанного на зонной диаграмме от уровня Ферми собственного полупроводника, и, как следствие, в корректном экспериментальном определении энергетического и пространственного распределений ЭАД.

Выбор слоя нелегированного (собственно-го) Si_{pc} определяется симметричной зависимостью величины заряда и дифференциальной емкости C'_{sc}(V'_s) приповерхностной области пространственного заряда этого слоя относительно знака его поверхностного изгиба энергетических зон V'_s, так что рост C'_{sc}(V'_s) будет наблюдаться при обогащении как электронами, так и дырками. Следовательно, минимальная высокочастотная емкость C'_{scmin} будет соответствовать V'_s ≈ 0 (условию плоских зон на поверхности слоя собственного Si_{pc}). Это позволяет по значению напряжения на Si_{pc}-затворе V = V'_g_{FB} = V, приводящего к минимальной емкости:

$$1/C_i + 1/C_{FB} = C_{min} = (C_i C'_{scmin}) / (C'_{scmin} + C_i)$$

на участке высокочастотной С-В-характери-

стики, вызванном модуляцией емкости C'_{sc}(V'_s), определить эффективный заряд ЭАД, локализованных во внешней области оксида Q_{ig}, согласно следующему выражению:

$$Q_{ig} = \int_0^{t_i} \rho(dz) z t_i^{-1} dz = Q_i Z_i t_i^{-1} = (V'_{FB} - V_s^* + \phi_{g-sub}) C_i ,$$

где $Q_i = \int_0^{t_i} \rho(z) dz$ и $Z_i = Q_i^{-1} \int_0^{t_i} \rho(z) dz$ - соответ-

ственно величина и центроид полного заряда электрически активных дефектов, распределенных с плотностью ρ(z) в слое затворного изолятора (координата z в этом слое изолятора отсчитана от его внутренней межфазной границы); (ϕ_{g-sub} - контактная разность потенциалов Si_{pc}-затвор - кремниевая подложка n-типа; V_s^{*} - значение поверхностного изгиба зон кремниевой подложки при $V = V'_{FB}$, определяемое по значению емкости C'_{sc} = C_{sc}(Vs = V_s^{*}); C_i - удельная емкость затворного изолятора толщиной t_i). При этом емкость структуры при $V = V'_{FB}$ будет равна:

$$C = C_{FB} = C_{min} = C_{sc}^* C_i C'_{scmin} / (C_{sc}^* C_i + C'_{scmin} C_i + C_{sc}^* C'_{scmin}), \text{ где } C_{sc}^* = C_{sc}(V_s).$$

В случае относительно толстых слоев оксида величина V_s^{*}, как правило, незначительна по сравнению с падением напряжения в таком слое оксида, так что ей можно пренебречь.

В слое Si_{pc}-затвора объемная концентрация ловушек N'_t, локализованных на межзеренных границах в этом слое, может быть определена следующим образом:

$$N'_t = \frac{kT}{q} \cdot \frac{C_i^2}{\epsilon_s \epsilon_0 q} \cdot \frac{C_{min}^2}{(C_i - C_{min})^2} .$$

Тогда интегральная поверхностная концентрация ловушек, локализованных на межфазной границе полиSi-оксид и в прилегающей к ней области Si_{pc}-затвора и перезаряжающихся в определенном диапазоне напряжений затвора ΔV и, соответственно, в определенном диапазоне поверхностных изгибов зон Si_{pc}-затвора ΔV'_s, приводящих к модуляции емкости структуры за счет изменения C_{sc}(V'_s), может быть представлена в следующем виде: N'_{ss} = C_i(ΔV - ΔV_{th}) / q⁻¹, где ΔV_{th} - расчетное значение ΔV для идеального случая отсутствия электрически активных

СУЩЕСТВЕННАЯ РОЛЬ КОНФИГУРАЦИИ СЛОЯ ЗАТВОРНОГО ИЗОЛЯТОРА СТРУКТУР ПОЛУПРОВОДНИК-ИЗОЛЯТОР-ПОЛУПРОВОДНИК В ПРОЦЕССЕ ДЕФЕКТООБРАЗОВАНИЯ

центров в слое затвора. Энергетическое распределение электрически активных центров в запрещенной зоне поли-Si затвора D'_{ss} (E') можно определить дифференцированием зависимости N'_{ss} от V'_s в диапазоне $\Delta V'_s$.

В том случае, когда области модуляции емкости многослойных структур, определяемые изменением $C_{ss}(V_s)$ и $C'_{sc}(V_i)$, отделены друг от друга на C-V характеристики по оси напряжений из-за действия ϕ_{g-sub} и Q_i , возникает возможность четко определить у структур со слаболегированной подложкой напряжение затвора $V = V_{int}$, при котором $V_s = -\phi_b$, что позволяет вычислить эффективный заряд электрически активных центров в области оксида, примыкающей к межфазной границе Si-оксид:

$$Q_{is} = Q_i(t_i - Z_i) d_i^{-1} = -(V_{int} + V_s^* + \phi_{g-sub} - V_s) C_i - Q_{sc}(V_s = -\phi_b),$$

где V_s^* - значение поверхностного изгиба зон при $V = V_{int}$, определяемое по значению емкости $C_s^* = C_{sc}$ ($V_s^* = V_s$); $Q_{sc}(V_s = -\phi_b)$, - заряд приповерхностной области подложки при $V_s = -\phi_b$. С учетом того, что при использовании нелегированного поликремния $\phi_{g-sub} = \phi'_b - \phi_b = -\phi_b$, а $V_s = -\phi_b$, получим:

$$Q_{is} = Q_i(t_i - Z_i) t_i^{-1} = -(V_{int} - V_s^*) C_i - Q_{sc}(V_s = -\phi_b).$$

Выбор именно такого поверхностного изгиба зон кремниевой подложки, определяется низкой поверхностной концентрацией как электронов, так и дырок (при $V_s = -\phi_b$), и, соответственно, минимальным вкладом заряда ловушек, локализованных непосредственно на внутренней межфазной границе оксида, в величину эффективного заряда ионизированных центров Q_{is} . Емкость многослойной структуры при $V = V_{int}$ определяется как

$$C = C_{int} = C_{sc}^* C_i C_{scint} / (C_{sc}^* C_i + C_{scint} C_i + C_{sc}^* C_{scint}),$$

$$\text{где } C_{scint} = C_{sc}(V_s = -\phi_b).$$

Определение интегральной поверхностной концентрации (N_{ss}) электрически активных центров, локализованных на межфазной границе кремниевая подложка-оксид, и энергетического распределения D_{ss} (E) осуществлялось аналогично подходу для межфазной границы поли-Si - слой оксида.

В том случае, когда диапазоны напряжений затвора, соответствующие модуляции емкости многослойных структур, вызванной модуляцией емкостей C_{sc} и C'_{sc} , существенно перекрывались, то для определения пространственного и энергетического распределения электрически активных центров в слое оксида использовались также структуры с сильнолегированной подложкой или создавался источник неосновных носителей заряда в периферийных областях подложки, за счет фотоактивного поглощения светового излучения. Это приводило к высоким значениям C_{sc} и, как следствие, к появлению участка модуляции емкости структуры, связанного с $C'_{sc}(V_s^*)$, что и позволяло определить V'_{FB} , Q_{ig} , Q_{is} , N_t и N_{ss} .

Выражения для определения полной величины и центроида заряда электрически активных центров в слое затворного изолятора:

$$Q_i = Q_{is} + Q_{ig} = [(V'_{FB} - V_{int}) - (\phi_b - V_s^* + V_s)] C_i - Q_{sc}(V_s = -\phi_b),$$

$$Z_i = t_i (V'_{FB} + \phi_{g-sub} - V_s^*) / \{[(V'_{FB} - V_{int}) - (V_s^* + V_s + \phi_b)] - C_i^{-1} Q_{sc}(V_s = -\phi_b)\},$$

полученные при анализе CV-характеристик данные сведены в таблицу 1.

АНАЛИЗ РЕЗУЛЬТАТОВ

Наибольшая генерация донорных ионизированных дефектов в слое затворного оксида (которая определяет величину заряда Q_i) и соответственно рост концентрации поверхностных состояний, наблюдается в области внутренней МФГ Si-SiO₂ при положительном потенциале на затворе в процессе воздействия РИ, а менее заметный рост в области внешней МФГ Si_{pc}-SiO₂ происходит при отрицательном потенциале на затворе структуры в процессе воздействия. Причем этот заряд Q_i имеет положительную полярность, как без воздействия, так и с воздействием РИ и по величине слабо зависит от потенциала на затворе в момент воздействия.

Впервые неразрушающим методом установлено, что центройд локализации этого заряда Z/t_i изначально расположен ближе к внешней МФГ Si_{pc}-SiO₂. При воздействии РИ с отрицательным потенциалом на зат-

воре (V_g) происходит значительное увеличение заряда окисла Q_i , при этом его центроид сдвигается ближе к МФГ полиSi-SiO₂. При воздействии РИ с нулевым потенциалом V_g величина заряда Q_i увеличивается, а центроид локализации смещается к внутренней МФГ Si-SiO₂, и располагается приблизительно в середине толщины подзатворного оксида SiO₂. При наличии воздействия РИ с положительным потенциалом на затворе, также происходит увеличение величины заряда Q_i , а его центроид смещается к внутренней МФГ Si-SiO₂.

Слабая зависимость изменения полного заряда ЭАД Q_i от полярности напряжения V_g указывает на схожую природу процессов генерации ЭАД в слое оксида у его внутренней и внешней МФГ.

Четко установлено существенное влияние геометрии затвора на дефектообразование. Из расчетной таблицы видно, что наибольшая величина встроенного заряда Q_i наблюдается у круговой конфигурации

затвора. Данное наблюдение относится к рассчитанным значениям, как без воздействия, так и при облучении РИ независимо от напряжения смещения при воздействии. Одновременно выявлена зависимость интенсивности генерации донорных дефектов от соотношения периметр/площадь (P/S) структуры. Из расчетов видно, что при наибольшем значении P/S наблюдается наименьшее значение Q_i . Это явление можно связать с процессами генерации и аннигиляции активных дефектов в слое затворного изолятора и на его межфазных границах с верхним и нижним кремниевыми затворами. На эти процессы влияет водород, находящийся в слое оксида. Несвязанный водород в процессе радиационного облучения освобождается и латеральной диффузией уходит на периферийные области и особенно на угловые. Таким образом, у структур с более высоким значением P/S генерация дефектов протекает слабее, чем у структур с наименьшим значением P/S.

Таблица 1

Результаты анализа С-V-характеристик

Конфигурация затвора	$S \cdot 10^{-3}$, см ²	P/S, мкм ⁻¹	V_g при РИ, В	$V'_{FB} = V_i(V_s=0)$, В	V_{FB} , В	$Q_i \cdot 10^{-6}$, Кл/см ²	Zi/di, отн. ед.
Круговая	4,30	0,005	-	3,21	-1,93	0,11	0,63
Круговая	4,30	0,005	0	9,21	-7,93	0,37	0,54
Круговая	4,30	0,005	+10	7,29	-18,21	1,27	0,29
Круговая	4,30	0,005	-10	27,08	-4,79	1,19	0,85
Полосковая	3,96	0,180	+10	12,00	-35,14	0,65	0,25
Полосковая	3,96	0,180	-10	23,54	-5,63	0,61	0,81
Полосковая	3,96	0,065	-	2,14	-1,50	0,10	0,59
Полосковая	3,96	0,065	0	3,00	-2,14	0,14	0,58
Полосковая	3,96	0,065	+10	10,29	-13,07	0,74	0,44
Полосковая	3,96	0,065	-10	17,71	-3,96	0,78	0,82
Полосковая	3,96	0,020	+10	11,57	-33,00	1,13	0,26
Полосковая	3,96	0,020	-10	40,00	-6,04	0,94	0,87

СУЩЕСТВЕННАЯ РОЛЬ КОНФИГУРАЦИИ СЛОЯ ЗАТВОРНОГО ИЗОЛЯТОРА СТРУКТУР ПОЛУПРОВОДНИК-ИЗОЛЯТОР-ПОЛУПРОВОДНИК В ПРОЦЕССЕ ДЕФЕКТООБРАЗОВАНИЯ

СПИСОК ЛИТЕРАТУРЫ

1. Зи С. Физика полупроводниковых приборов. М.: Мир. 1984.
2. Попов В.П., Антонова А.И., Французов А.А., Сафонов Л.Н., Феофанов Г.Н., Наумова О.В., Киланов Д.В. Свойства структур и приборов на кремний-на-изоляторе // ФТП. 2001. Т. 35. Вып. 9. С. 1075-1083.
3. Урицкий В.Я. Тестовая МДП-структура. Авторское свидетельство 884509 (1980).
4. Colinge J.P. Trends in silicon on insulator technology // Microelectronic Engineering.
5. Johnston A.H. Radiation effects in advanced microelectronics technologies// IEEE transactions on nuclear science. 1998. V.45. № 3. P. 1339.
6. Uritsky V.Ya., Krylov A.P. Influence of interfaces on electrical characteristics formation in monocrystalline silicon-noncrystalline ultrathin oxide – polycrystalline silicon structures // Microelectronics Reliability. 2000. V. 40. P. 605-608.